

Modelli di Polimeri e Passeggiate Aleatorie

Francesco Caravenna

caravenna@math.unipd.it

Università degli Studi di Padova

XVIII Congresso dell'U.M.I.

Bari, 26 settembre 2007

Programma

1. Introduzione

- Che cos'è un polimero?
- Polimeri e probabilità

2. Modelli periodici

- Definizione
- La transizione di fase
- Il comportamento delle traiettorie

3. Modelli disordinati

- Definizione
- La transizione di fase
- Risultati e tecniche

Programma

1. Introduzione

- Che cos'è un polimero?
- Polimeri e probabilità

2. Modelli periodici

- Definizione
- La transizione di fase
- Il comportamento delle traiettorie

3. Modelli disordinati

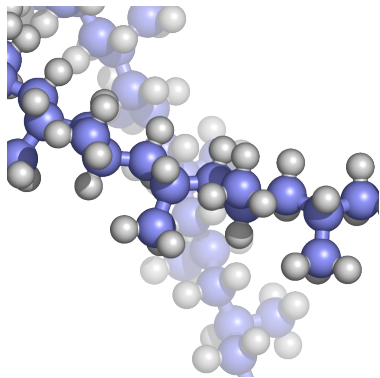
- Definizione
- La transizione di fase
- Risultati e tecniche

Che cos'è un polimero?

Un **polimero** è una grossa molecola costituita da un gran numero di molecole più piccole, dette **monomeri**, unite a formare una catena.

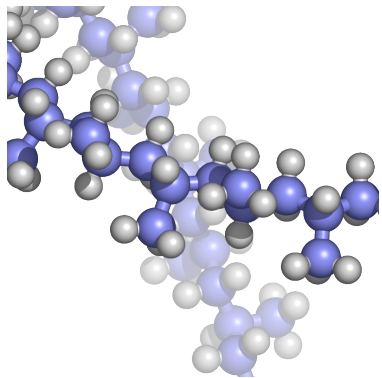
Che cos'è un polimero?

Un **polimero** è una grossa molecola costituita da un gran numero di molecole più piccole, dette **monomeri**, unite a formare una catena.



Che cos'è un polimero?

Un **polimero** è una grossa molecola costituita da un gran numero di molecole più piccole, dette **monomeri**, unite a formare una catena.

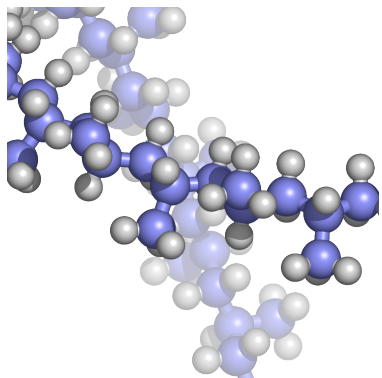


Esempi tipici:

- ▶ DNA, RNA
- ▶ Proteine
- ▶ Materie plastiche

Che cos'è un polimero?

Un **polimero** è una grossa molecola costituita da un gran numero di molecole più piccole, dette **monomeri**, unite a formare una catena.



Esempi tipici:

- ▶ DNA, RNA
- ▶ Proteine
- ▶ Materie plastiche

Argomento di ricerca in
chimica, fisica, biologia, ...

Probabilità: due processi basilari

Passeggiata aleatoria semplice $\{S_n\}_n$ su \mathbb{Z}^d

$$S_0 = 0 \quad S_n = \sum_{i=1}^n X_i$$

Incrementi $\{X_i\}_i$ indipendenti, $\mathbf{P}(X_i = \pm e_k) = \frac{1}{2d}$, $\forall k = 1, \dots, d$

Probabilità: due processi basilari

Passeggiata aleatoria semplice $\{S_n\}_n$ su \mathbb{Z}^d

$$S_0 = 0 \quad S_n = \sum_{i=1}^n X_i$$

Incrementi $\{X_i\}_i$ indipendenti, $\mathbf{P}(X_i = \pm e_k) = \frac{1}{2d}$, $\forall k = 1, \dots, d$

Passeggiata aleatoria auto-evitante su \mathbb{Z}^d

Condizionata a non visitare alcun sito più di una volta

Probabilità: due processi basilari

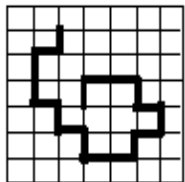
Passeggiata aleatoria semplice $\{S_n\}_n$ su \mathbb{Z}^d

$$S_0 = 0 \quad S_n = \sum_{i=1}^n X_i$$

Incrementi $\{X_i\}_i$ indipendenti, $\mathbf{P}(X_i = \pm e_k) = \frac{1}{2d}$, $\forall k = 1, \dots, d$

Passeggiata aleatoria auto-evitante su \mathbb{Z}^d

Condizionata a non visitare alcun sito più di una volta



Probabilità: due processi basilari

In che senso questi processi sono legate ai polimeri?

Probabilità: due processi basilari

In che senso questi processi sono legate ai **polimeri**?

- ▶ Esempi di **polimeri astratti**: incrementi \leftrightarrow monomeri

Probabilità: due processi basilari

In che senso questi processi sono legate ai **polimeri**?

- ▶ Esempi di **polimeri astratti**: incrementi \leftrightarrow monomeri
- ▶ Ma soprattutto:

Modelli per una **descrizione statistica** di polimeri
in **interazione con l'ambiente** (Meccanica Statistica)

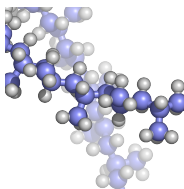
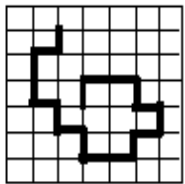
Probabilità: due processi basilari

In che senso questi processi sono legate ai **polimeri**?

- ▶ Esempi di **polimeri astratti**: incrementi \leftrightarrow monomeri
- ▶ Ma soprattutto:

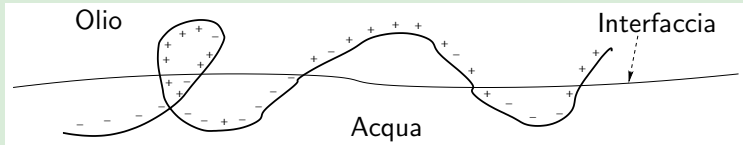
Modelli per una **descrizione statistica** di polimeri
in **interazione con l'ambiente** (Meccanica Statistica)

Traiettorie del processo \leftrightarrow Configurazioni del polimero



Il problema del copolimero

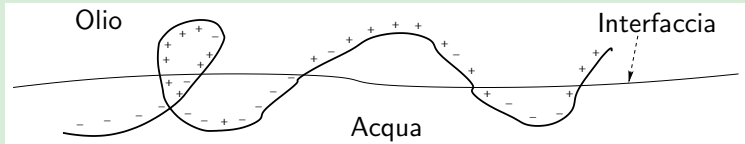
Esempio: copolimero (= polimero **disomogeneo**)
vicino a un'interfaccia selettiva



Monomeri: $(+)$ → idrofobo $(-)$ → idrofilo

Il problema del copolimero

Esempio: copolimero (= polimero **disomogeneo**)
vicino a un'interfaccia selettiva



Monomeri: $(+)$ → idrofobo $(-)$ → idrofilo

Transizione di fase:

Localizzazione all'interfaccia vs Delocalizzazione in un solvente

- Competizione tra **energia** e **entropia**

Il problema del copolimero

Obiettivo: rendere conto di tali fenomeni mediante modelli probabilistici basati su passeggiate aleatorie

Il problema del copolimero

Obiettivo: rendere conto di tali fenomeni mediante modelli probabilistici basati su passeggiate aleatorie

Passeggiata auto-evitante: modello più realistico...
... ma molto più difficile! [Madras e Slade, Birkhäuser 93]

Il problema del copolimero

Obiettivo: rendere conto di tali fenomeni mediante modelli probabilistici basati su passeggiate aleatorie

Passeggiata auto-evitante: modello più realistico...
... ma molto più difficile! [Madras e Slade, Birkhäuser 93]

Modelli trattabili: basati su passeggiate aleatorie ordinarie
(o passeggiate dirette)

Il problema del copolimero

Obiettivo: rendere conto di tali fenomeni mediante modelli probabilistici basati su passeggiate aleatorie

Passeggiata auto-evitante: modello più realistico...
... ma molto più difficile! [Madras e Slade, Birkhäuser 93]

Modelli trattabili: basati su passeggiate aleatorie ordinarie
(o passeggiate dirette)

Secondo il tipo di disomogeneità $\omega = +, -, -, \dots$ distinguiamo:

1. Modelli periodici: ω è periodica \sim rilevanti per i polimeri sintetici e come approssimazione di modelli disordinati

Il problema del copolimero

Obiettivo: rendere conto di tali fenomeni mediante modelli probabilistici basati su passeggiate aleatorie

Passeggiata auto-evitante: modello più realistico...
... ma molto più difficile! [Madras e Slade, Birkhäuser 93]

Modelli trattabili: basati su passeggiate aleatorie ordinarie
(o passeggiate dirette)

Secondo il tipo di disomogeneità $\omega = +, -, -, \dots$ distinguiamo:

1. Modelli periodici: ω è periodica \sim rilevanti per i polimeri sintetici e come approssimazione di modelli disordinati
2. Modelli disordinati: ω è la realizzazione di un processo aleatorio \sim rilevanti per le applicazioni biologiche

Programma

1. Introduzione

Che cos'è un polimero?

Polimeri e probabilità

2. Modelli periodici

Definizione

La transizione di fase

Il comportamento delle traiettorie

3. Modelli disordinati

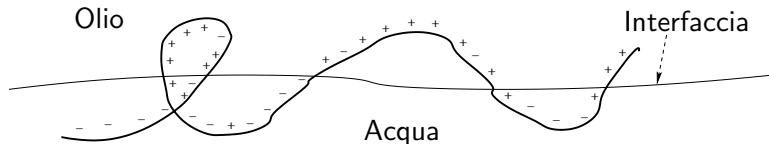
Definizione

La transizione di fase

Risultati e tecniche

Definizione del modello

Ricordiamo il problema:



Definire un modello probabilistico $P_{N,\omega}^{\lambda,h}$ per questa situazione.

Definizione del modello

Ingredienti del modello:

- ▶ successione $\omega \in \{+1, -1\}^{\mathbb{N}}$ periodica dei monomeri

Definizione del modello

Ingredienti del modello:

- ▶ successione $\omega \in \{+1, -1\}^{\mathbb{N}}$ periodica dei monomeri
- ▶ lunghezza $N \in \mathbb{N}$ del polimero

Definizione del modello

Ingredienti del modello:

- ▶ successione $\omega \in \{+1, -1\}^{\mathbb{N}}$ periodica dei monomeri
- ▶ lunghezza $N \in \mathbb{N}$ del polimero
- ▶ parametri di interazione $\lambda, h \geq 0$

Definizione del modello

Ingredienti del modello:

- ▶ successione $\omega \in \{+1, -1\}^{\mathbb{N}}$ periodica dei monomeri
- ▶ lunghezza $N \in \mathbb{N}$ del polimero
- ▶ parametri di interazione $\lambda, h \geq 0$
- ▶ passeggiata aleatoria semplice $(\{S_n\}, P)$ su \mathbb{Z}

Definizione del modello

Ingredienti del modello:

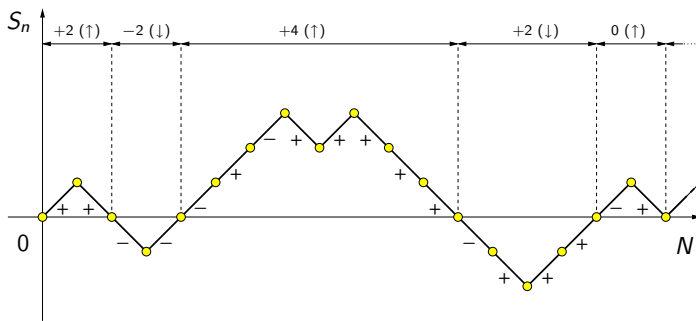
- ▶ successione $\omega \in \{+1, -1\}^{\mathbb{N}}$ periodica dei monomeri
- ▶ lunghezza $N \in \mathbb{N}$ del polimero
- ▶ parametri di interazione $\lambda, h \geq 0$
- ▶ passeggiata aleatoria semplice $(\{S_n\}, \mathbf{P})$ su \mathbb{Z}

Definizione del modello $\mathbf{P}_{N,\omega}^{\lambda,h}$ [Bolthausen e den Hollander, AP 97]

$$\frac{d\mathbf{P}_{N,\omega}^{\lambda,h}}{d\mathbf{P}}(S) := \frac{1}{Z_{N,\omega}^{\lambda,h}} \cdot \exp\left(\mathcal{H}_{N,\omega}^{\lambda,h}(S)\right)$$

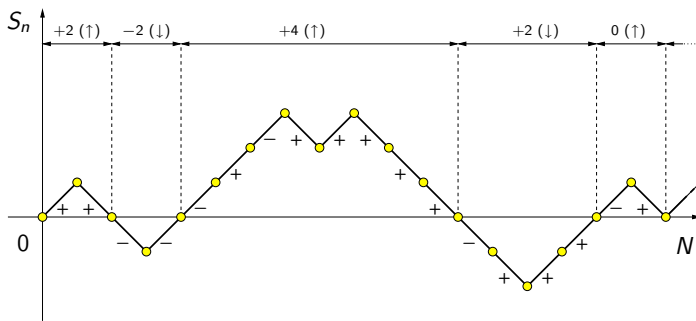
Energia: $\mathcal{H}_{N,\omega}^{\lambda,h}(S) := \lambda \sum_{n=1}^N (\omega_n + h) \operatorname{sign}(S_n)$

Una traiettoria illustrativa



Energia: $\mathcal{H}_{N,\omega}^{\lambda,h}(S) := \lambda \sum_{n=1}^N (\omega_n + h) \operatorname{sign}(S_n) = \lambda(6 + 6h)$

Una traiettoria illustrativa



Energia: $\mathcal{H}_{N,\omega}^{\lambda,h}(S) := \lambda \sum_{n=1}^N (\omega_n + h) \operatorname{sign}(S_n) = \lambda(6 + 6h)$

- ▶ $\lambda \geq 0$ modula la forza dell'interazione (temperatura $^{-1}$)
- ▶ h descrive l'asimmetria olio-acqua (≥ 0 per conv.)

Qualche domanda

La misura $P_{N,\omega}^{\lambda,h}$ descrive la distribuzione statistica delle configurazioni del polimero, assegnate le condizioni esterne

Qualche domanda

La misura $\mathbf{P}_{N,\omega}^{\lambda,h}$ descrive la distribuzione statistica delle configurazioni del polimero, assegnate le condizioni esterne

Interessati alle proprietà per $N \rightarrow \infty$ ([limite termodinamico](#)).

A priori due possibili scenari per le traiettorie di $\mathbf{P}_{N,\omega}^{\lambda,h}$:

Qualche domanda

La misura $\mathbf{P}_{N,\omega}^{\lambda,h}$ descrive la distribuzione statistica delle configurazioni del polimero, assegnate le condizioni esterne

Interessati alle proprietà per $N \rightarrow \infty$ ([limite termodinamico](#)).

A priori due possibili scenari per le traiettorie di $\mathbf{P}_{N,\omega}^{\lambda,h}$:

- [Localizzazione](#): le traiettorie restano vicine all'interfaccia, per massimizzare l'energia $\mathcal{H}_{N,\omega}^{\lambda,h}$

Qualche domanda

La misura $\mathbf{P}_{N,\omega}^{\lambda,h}$ descrive la distribuzione statistica delle configurazioni del polimero, assegnate le condizioni esterne

Interessati alle proprietà per $N \rightarrow \infty$ ([limite termodinamico](#)).

A priori due possibili scenari per le traiettorie di $\mathbf{P}_{N,\omega}^{\lambda,h}$:

- ▶ [Localizzazione](#): le traiettorie restano vicine all'interfaccia, per massimizzare l'[energia](#) $\mathcal{H}_{N,\omega}^{\lambda,h}$
- ▶ [Delocalizzazione](#): le traiettorie preferiscono fluttuare nell'olio, per massimizzare l'[entropia](#) di \mathbf{P}

Qualche domanda

La misura $\mathbf{P}_{N,\omega}^{\lambda,h}$ descrive la distribuzione statistica delle configurazioni del polimero, assegnate le condizioni esterne

Interessati alle proprietà per $N \rightarrow \infty$ ([limite termodinamico](#)).

A priori due possibili scenari per le traiettorie di $\mathbf{P}_{N,\omega}^{\lambda,h}$:

- ▶ [Localizzazione](#): le traiettorie restano vicine all'interfaccia, per massimizzare l'[energia](#) $\mathcal{H}_{N,\omega}^{\lambda,h}$
- ▶ [Delocalizzazione](#): le traiettorie preferiscono fluttuare nell'olio, per massimizzare l'[entropia](#) di \mathbf{P}

Qual è lo scenario corretto? La risposta dipende da λ, h ?

Qualche domanda

La misura $\mathbf{P}_{N,\omega}^{\lambda,h}$ descrive la distribuzione statistica delle configurazioni del polimero, assegnate le condizioni esterne

Interessati alle proprietà per $N \rightarrow \infty$ ([limite termodinamico](#)).

A priori due possibili scenari per le traiettorie di $\mathbf{P}_{N,\omega}^{\lambda,h}$:

- ▶ [Localizzazione](#): le traiettorie restano vicine all'interfaccia, per massimizzare l'[energia](#) $\mathcal{H}_{N,\omega}^{\lambda,h}$
- ▶ [Delocalizzazione](#): le traiettorie preferiscono fluttuare nell'olio, per massimizzare l'[entropia](#) di \mathbf{P}

Qual è lo scenario corretto? La risposta dipende da λ, h ?

Come definire precisamente \mathcal{L} e \mathcal{D} ? → vedremo dopo

Qualche risposta

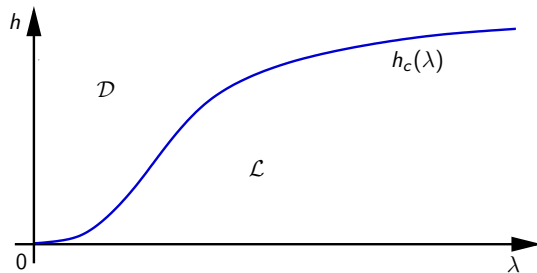
Teorema [Bolthausen e Giacomin, AAP 05]

- ▶ C'è una transizione di fase non banale tra un regime Localizzato e un regime Delocalizzato

Qualche risposta

Teorema [Bolthausen e Giacomin, AAP 05]

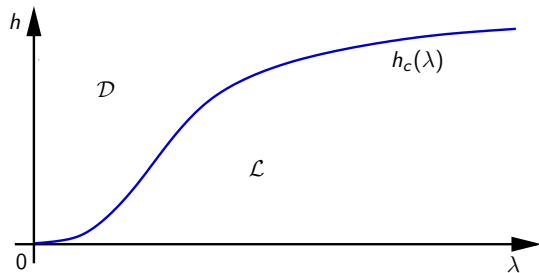
- ▶ C'è una transizione di fase non banale tra un regime *Localizzato* e un regime *Delocalizzato*
- ▶ Nel piano (λ, h) le regioni \mathcal{L} e \mathcal{D} sono separate da una curva critica crescente $\lambda \mapsto h_c(\lambda)$ (\rightarrow formula "esplicita")



Qualche risposta

Teorema [Bolthausen e Giacomin, AAP 05]

- ▶ C'è una transizione di fase non banale tra un regime *Localizzato* e un regime *Delocalizzato*
- ▶ Nel piano (λ, h) le regioni \mathcal{L} e \mathcal{D} sono separate da una curva critica crescente $\lambda \mapsto h_c(\lambda)$ (\rightarrow formula "esplicita")



Asintotica:

$$h_c(\lambda) \sim \lambda^3$$

per $\lambda \rightarrow 0$

Risultati traiettoriali

In che senso nella regione \mathcal{L} (risp. \mathcal{D}) le traiettorie del modello $\mathbf{P}_{N,\omega}^{\lambda,h}$ sono localizzate (risp. delocalizzate)?

Risultati traiettoriali

In che senso nella regione \mathcal{L} (risp. \mathcal{D}) le traiettorie del modello $\mathbf{P}_{N,\omega}^{\lambda,h}$ sono localizzate (risp. delocalizzate)?

Riscalamento diffusivo di $\mathbf{P}_{N,\omega}^{\lambda,h}$: $X_N(t) := \frac{S_{\lfloor Nt \rfloor}}{\sqrt{N}}, \quad t \in [0, 1]$

Risultati traiettoriali

In che senso nella regione \mathcal{L} (risp. \mathcal{D}) le traiettorie del modello $\mathbf{P}_{N,\omega}^{\lambda,h}$ sono localizzate (risp. delocalizzate)?

Riscalamento diffusivo di $\mathbf{P}_{N,\omega}^{\lambda,h}$: $X_N(t) := \frac{S_{\lfloor Nt \rfloor}}{\sqrt{N}}, \quad t \in [0, 1]$

Teorema [C., Giacomin e Zambotti, AAP 07]

Il risc. diffusivo di $\mathbf{P}_{N,\omega}^{\lambda,h}$ converge deb. in $C([0, 1])$ per $N \rightarrow \infty$:

- ▶ in \mathcal{L} verso il **processo banale** $X(t) \equiv 0$ (infatti $S_N = O(\log N)$)

Risultati traiettoriali

In che senso nella regione \mathcal{L} (risp. \mathcal{D}) le traiettorie del modello $\mathbf{P}_{N,\omega}^{\lambda,h}$ sono localizzate (risp. delocalizzate)?

Riscalamento diffusivo di $\mathbf{P}_{N,\omega}^{\lambda,h}$: $X_N(t) := \frac{S_{\lfloor Nt \rfloor}}{\sqrt{N}}, \quad t \in [0, 1]$

Teorema [C., Giacomin e Zambotti, AAP 07]

Il risc. diffusivo di $\mathbf{P}_{N,\omega}^{\lambda,h}$ converge deb. in $C([0, 1])$ per $N \rightarrow \infty$:

- ▶ in \mathcal{L} verso il **processo banale** $X(t) \equiv 0$ (infatti $S_N = O(\log N)$)
- ▶ in \mathcal{D} verso il **meandro browniano** $X(t) = B_t | \{B_s \geq 0 : \forall s \leq 1\}$

Risultati traiettoriali

In che senso nella regione \mathcal{L} (risp. \mathcal{D}) le traiettorie del modello $\mathbf{P}_{N,\omega}^{\lambda,h}$ sono localizzate (risp. delocalizzate)?

Riscalamento diffusivo di $\mathbf{P}_{N,\omega}^{\lambda,h}$: $X_N(t) := \frac{S_{\lfloor Nt \rfloor}}{\sqrt{N}}, \quad t \in [0, 1]$

Teorema [C., Giacomin e Zambotti, AAP 07]

Il risc. diffusivo di $\mathbf{P}_{N,\omega}^{\lambda,h}$ converge deb. in $C([0, 1])$ per $N \rightarrow \infty$:

- ▶ in \mathcal{L} verso il **processo banale** $X(t) \equiv 0$ (infatti $S_N = O(\log N)$)
- ▶ in \mathcal{D} verso il **meandro browniano** $X(t) = B_t | \{B_s \geq 0 : \forall s \leq 1\}$
- ▶ sulla **curva critica** verso il **moto browniano riflesso** $X(t) = |B_t|$.

Risultati traiettoriali

In che senso nella regione \mathcal{L} (risp. \mathcal{D}) le traiettorie del modello $\mathbf{P}_{N,\omega}^{\lambda,h}$ sono localizzate (risp. delocalizzate)?

Riscalamento diffusivo di $\mathbf{P}_{N,\omega}^{\lambda,h}$: $X_N(t) := \frac{S_{\lfloor Nt \rfloor}}{\sqrt{N}}, \quad t \in [0, 1]$

Teorema [C., Giacomin e Zambotti, AAP 07]

Il risc. diffusivo di $\mathbf{P}_{N,\omega}^{\lambda,h}$ converge deb. in $C([0, 1])$ per $N \rightarrow \infty$:

- ▶ in \mathcal{L} verso il **processo banale** $X(t) \equiv 0$ (infatti $S_N = O(\log N)$)
- ▶ in \mathcal{D} verso il **meandro browniano** $X(t) = B_t | \{B_s \geq 0 : \forall s \leq 1\}$
- ▶ sulla **curva critica** verso il **moto browniano riflesso** $X(t) = |B_t|$.

Tecniche: **Grandi Deviazioni** [BG], **Teoria di Rinnovo** [CGZ]

Programma

1. Introduzione

Che cos'è un polimero?

Polimeri e probabilità

2. Modelli periodici

Definizione

La transizione di fase

Il comportamento delle traiettorie

3. Modelli disordinati

Definizione

La transizione di fase

Risultati e tecniche

Definizione del modello disordinato

Il modello è formalmente lo stesso del caso periodico:

$$\frac{d\mathbf{P}_{N,\omega}^{\lambda,h}}{d\mathbf{P}}(S) := \frac{1}{Z_{N,\omega}^{\lambda,h}} \cdot \exp\left(\mathcal{H}_{N,\omega}^{\lambda,h}(S)\right)$$

Energia: $\mathcal{H}_{N,\omega}^{\lambda,h}(S) := \lambda \sum_{n=1}^N (\omega_n + h) \operatorname{sign}(S_n)$

Definizione del modello disordinato

Il modello è formalmente lo stesso del caso periodico:

$$\frac{d\mathbf{P}_{N,\omega}^{\lambda,h}}{d\mathbf{P}}(S) := \frac{1}{Z_{N,\omega}^{\lambda,h}} \cdot \exp\left(\mathcal{H}_{N,\omega}^{\lambda,h}(S)\right)$$

Energia: $\mathcal{H}_{N,\omega}^{\lambda,h}(S) := \lambda \sum_{n=1}^N (\omega_n + h) \operatorname{sign}(S_n)$

Cambia la disomogeneità $\omega = +, -, \dots$, non più deterministica:

$\omega \in \{+1, -1\}^{\mathbb{N}}$ è la realizzazione di un processo aleatorio

$$\{\omega_n\}_{n \in \mathbb{N}} \text{ i.i.d. con } \mathbb{P}(\omega_1 = +1) = \mathbb{P}(\omega_1 = -1) = \frac{1}{2}$$

Definizione del modello disordinato

Il modello è formalmente lo stesso del caso periodico:

$$\frac{d\mathbf{P}_{N,\omega}^{\lambda,h}}{d\mathbf{P}}(S) := \frac{1}{Z_{N,\omega}^{\lambda,h}} \cdot \exp\left(\mathcal{H}_{N,\omega}^{\lambda,h}(S)\right)$$

Energia: $\mathcal{H}_{N,\omega}^{\lambda,h}(S) := \lambda \sum_{n=1}^N (\omega_n + h) \operatorname{sign}(S_n)$

Cambia la disomogeneità $\omega = +, -, \dots$, non più deterministica:

$\omega \in \{+1, -1\}^{\mathbb{N}}$ è la realizzazione di un processo aleatorio

$$\{\omega_n\}_{n \in \mathbb{N}} \text{ i.i.d. con } \mathbb{P}(\omega_1 = +1) = \mathbb{P}(\omega_1 = -1) = \frac{1}{2}$$

Due diversi tipi di alea nel sistema (\mathbb{P} “quenched randomness”)

\mathcal{L} ocalizzazione e \mathcal{D} elocalizzazione: l'energia libera

Come definire precisamente le regioni \mathcal{L} e \mathcal{D} ?

\mathcal{L} ocalizzazione e \mathcal{D} elocalizzazione: l'energia libera

Come definire precisamente le regioni \mathcal{L} e \mathcal{D} ?

Funzione di partizione: $Z_{N,\omega}^{\lambda,h} := \mathbf{E}\left(\exp(\mathcal{H}_{N,\omega}^{\lambda,h})\right)$

\mathcal{L} ocalizzazione e \mathcal{D} elocalizzazione: l'energia libera

Come definire precisamente le regioni \mathcal{L} e \mathcal{D} ?

Funzione di partizione: $Z_{N,\omega}^{\lambda,h} := \mathbf{E}(\exp(\mathcal{H}_{N,\omega}^{\lambda,h}))$

Energia libera: tasso di crescita esponenziale di Z_N :

$$f_\omega(\lambda, h) := \lim_{N \rightarrow \infty} \frac{1}{N} \log Z_{N,\omega}^{\lambda,h}$$

\mathcal{L} ocalizzazione e \mathcal{D} elocalizzazione: l'energia libera

Come definire precisamente le regioni \mathcal{L} e \mathcal{D} ?

Funzione di partizione: $Z_{N,\omega}^{\lambda,h} := \mathbf{E}(\exp(\mathcal{H}_{N,\omega}^{\lambda,h}))$

Energia libera: tasso di crescita esponenziale di Z_N :

$$f_\omega(\lambda, h) := \lim_{N \rightarrow \infty} \frac{1}{N} \log Z_{N,\omega}^{\lambda,h}$$

[Il limite esiste \mathbb{P} -q.c. e in $L^1(\mathbb{P})$ e non dipende da ω : $f_\omega(\lambda, h) = f(\lambda, h)$]

\mathcal{L} ocalizzazione e \mathcal{D} elocalizzazione: l'energia libera

Come definire precisamente le regioni \mathcal{L} e \mathcal{D} ?

Funzione di partizione: $Z_{N,\omega}^{\lambda,h} := \mathbf{E}(\exp(\mathcal{H}_{N,\omega}^{\lambda,h}))$

Energia libera: tasso di crescita esponenziale di Z_N :

$$f_\omega(\lambda, h) := \lim_{N \rightarrow \infty} \frac{1}{N} \log Z_{N,\omega}^{\lambda,h}$$

[Il limite esiste \mathbb{P} -q.c. e in $L^1(\mathbb{P})$ e non dipende da ω : $f_\omega(\lambda, h) = f(\lambda, h)$]

Traiettorie $S_n \geq 0$ che fluttuano nell'olio \longrightarrow $f(\lambda, h) \geq \lambda h$

\mathcal{L} ocalizzazione e \mathcal{D} elocalizzazione: l'energia libera

Come definire precisamente le regioni \mathcal{L} e \mathcal{D} ?

Funzione di partizione: $Z_{N,\omega}^{\lambda,h} := \mathbf{E}(\exp(\mathcal{H}_{N,\omega}^{\lambda,h}))$

Energia libera: tasso di crescita esponenziale di Z_N :

$$f_\omega(\lambda, h) := \lim_{N \rightarrow \infty} \frac{1}{N} \log Z_{N,\omega}^{\lambda,h}$$

[Il limite esiste \mathbb{P} -q.c. e in $L^1(\mathbb{P})$ e non dipende da ω : $f_\omega(\lambda, h) = f(\lambda, h)$]

Traiettorie $S_n \geq 0$ che fluttuano nell'olio \longrightarrow $f(\lambda, h) \geq \lambda h$

Definizione:

- $\mathcal{L} = \{(\lambda, h) : f(\lambda, h) > \lambda h\}$
- $\mathcal{D} = \{(\lambda, h) : f(\lambda, h) = \lambda h\}$

La curva critica

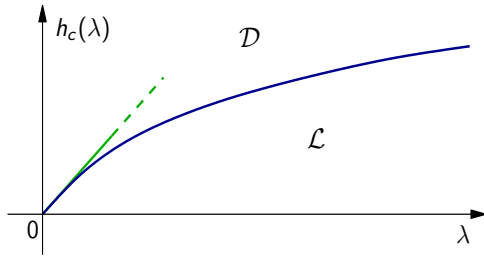
Teorema [Bolthausen e den Hollander, AP 97]

- ▶ C'è una transizione di fase non banale tra un regime *Localizzato* e un regime *Delocalizzato*

La curva critica

Teorema [Bolthausen e den Hollander, AP 97]

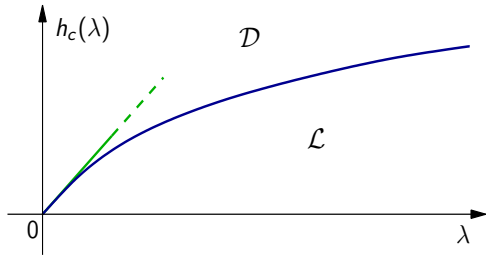
- ▶ C'è una transizione di fase non banale tra un regime *Localizzato* e un regime *Delocalizzato*
- ▶ Nel piano (λ, h) le regioni \mathcal{L} e \mathcal{D} sono separate da una curva critica crescente $\lambda \mapsto h_c(\lambda)$ (\rightarrow no formula esplicita)



La curva critica

Teorema [Bolthausen e den Hollander, AP 97]

- ▶ C'è una transizione di fase non banale tra un regime *Localizzato* e un regime *Delocalizzato*
- ▶ Nel piano (λ, h) le regioni \mathcal{L} e \mathcal{D} sono separate da una curva critica crescente $\lambda \mapsto h_c(\lambda)$ (\rightarrow no formula esplicita)



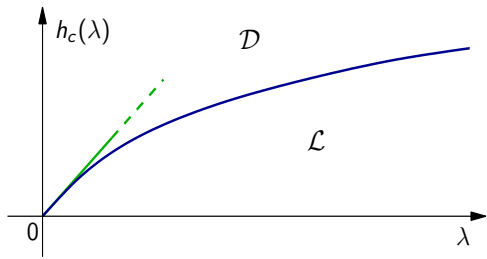
Asintotica per $\lambda \rightarrow 0$:

$$h_c(\lambda) \sim m\lambda, \quad m > 0$$

La curva critica

Teorema [Bolthausen e den Hollander, AP 97]

- ▶ C'è una transizione di fase non banale tra un regime *Localizzato* e un regime *Delocalizzato*
- ▶ Nel piano (λ, h) le regioni \mathcal{L} e \mathcal{D} sono separate da una curva critica crescente $\lambda \mapsto h_c(\lambda)$ (\rightarrow no formula esplicita)



Asintotica per $\lambda \rightarrow 0$:

$$h_c(\lambda) \sim m\lambda, \quad m > 0$$

- ▶ Riscal. browniano
- ▶ Universalità

Individuare la curva critica

Famiglia di curve indicizzata da $q > 0$: $h^{(q)}(\lambda) := \frac{\log \cosh(2q\lambda)}{2q\lambda}$

Individuare la curva critica

Famiglia di curve indicizzata da $q > 0$: $h^{(q)}(\lambda) := \frac{\log \cosh(2q\lambda)}{2q\lambda}$

**Conge^tture
fisiche:**

- ▶ $h_c(\cdot) = h^{(1)}(\cdot)$ [Garel et al. 89; Maritan et al. 99]
- ▶ $h_c(\cdot) = h^{(2/3)}(\cdot)$ [Monthus 00; Stepanov et al. 98]

Individuare la curva critica

Famiglia di curve indicizzata da $q > 0$: $h^{(q)}(\lambda) := \frac{\log \cosh(2q\lambda)}{2q\lambda}$

- Congettura fisiche:**
- ▶ $h_c(\cdot) = h^{(1)}(\cdot)$ [Garel et al. 89; Maritan et al. 99]
 - ▶ $h_c(\cdot) = h^{(2/3)}(\cdot)$ [Monthus 00; Stepanov et al. 98]

Teorema [BdH, AP 97], [Bodineau e Giacomin, JSP 04]

$$h^{(2/3)}(\cdot) \leq h_c(\cdot) \leq h^{(1)}(\cdot)$$

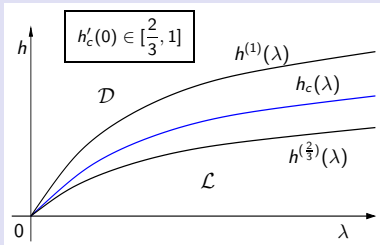
Individuare la curva critica

Famiglia di curve indicizzata da $q > 0$: $h^{(q)}(\lambda) := \frac{\log \cosh(2q\lambda)}{2q\lambda}$

- Congettura fisiche:**
- ▶ $h_c(\cdot) = h^{(1)}(\cdot)$ [Garel et al. 89; Maritan et al. 99]
 - ▶ $h_c(\cdot) = h^{(2/3)}(\cdot)$ [Monthus 00; Stepanov et al. 98]

Teorema [BdH, AP 97], [Bodineau e Giacomin, JSP 04]

$$h^{(2/3)}(\cdot) \leq h_c(\cdot) \leq h^{(1)}(\cdot)$$



Migliorare le stime sulla curva critica

Forse $h_c(\cdot) = h^{(2/3)}(\cdot)$?

Migliorare le stime sulla curva critica

Forse $h_c(\cdot) = h^{(2/3)}(\cdot)$? **NO(?)** [C., Giacomin e Gubinelli, JSP 06]

Migliorare le stime sulla curva critica

Forse $h_c(\cdot) = h^{(2/3)}(\cdot)$? **NO(?)** [C., Giacomin e Gubinelli, JSP 06]

- ▶ Test statistico per l'ipotesi

$$H_0 : h_c(\lambda) = h^{(2/3)}(\lambda)$$

Migliorare le stime sulla curva critica

Forse $h_c(\cdot) = h^{(2/3)}(\cdot)$? NO(?) [C., Giacomin e Gubinelli, JSP 06]

- ▶ Test statistico per l'ipotesi $H_0 : h_c(\lambda) = h^{(2/3)}(\lambda)$
- ▶ Super-additività + Disuguaglianze di concentrazione:
stima rigorosa della probabilità di errore

Migliorare le stime sulla curva critica

Forse $h_c(\cdot) = h^{(2/3)}(\cdot)$? NO(?) [C., Giacomin e Gubinelli, JSP 06]

- ▶ Test statistico per l'ipotesi $H_0 : h_c(\lambda) = h^{(2/3)}(\lambda)$
- ▶ Super-additività + Disuguaglianze di concentrazione:
stima rigorosa della probabilità di errore
- ▶ Uso del computer solo per simulare le variabili ω_n

Migliorare le stime sulla curva critica

Forse $h_c(\cdot) = h^{(2/3)}(\cdot)$? **NO(?)** [C., Giacomin e Gubinelli, JSP 06]

- ▶ Test statistico per l'ipotesi $H_0 : h_c(\lambda) = h^{(2/3)}(\lambda)$
- ▶ Super-additività + Disuguaglianze di concentrazione:
stima rigorosa della probabilità di errore
- ▶ Uso del computer solo per simulare le variabili ω_n

Il *p*-value del test è $< 10^{-5}$!
Forti evidenze che $h_c(\lambda) > h^{(2/3)}(\lambda)$

Migliorare le stime sulla curva critica

Forse $h_c(\cdot) = h^{(2/3)}(\cdot)$? **NO(?)** [C., Giacomin e Gubinelli, JSP 06]

- ▶ Test statistico per l'ipotesi $H_0 : h_c(\lambda) = h^{(2/3)}(\lambda)$
- ▶ Super-additività + Disuguaglianze di concentrazione:
stima rigorosa della probabilità di errore
- ▶ Uso del computer solo per simulare le variabili ω_n

Il *p*-value del test è $< 10^{-5}$!
Forti evidenze che $h_c(\lambda) > h^{(2/3)}(\lambda)$

Forse $h_c(\cdot) = h^{(1)}(\cdot)$?

Migliorare le stime sulla curva critica

Forse $h_c(\cdot) = h^{(2/3)}(\cdot)$? **NO(?)** [C., Giacomin e Gubinelli, JSP 06]

- ▶ Test statistico per l'ipotesi $H_0 : h_c(\lambda) = h^{(2/3)}(\lambda)$
- ▶ Super-additività + Disuguaglianze di concentrazione:
stima rigorosa della probabilità di errore
- ▶ Uso del computer solo per simulare le variabili ω_n

Il p -value del test è $< 10^{-5}$!
Forti evidenze che $h_c(\lambda) > h^{(2/3)}(\lambda)$

Forse $h_c(\cdot) = h^{(1)}(\cdot)$? **NO(?)**: evidenze numeriche [CGG, JSP 06]

Migliorare le stime sulla curva critica

Forse $h_c(\cdot) = h^{(2/3)}(\cdot)$? **NO(?)** [C., Giacomin e Gubinelli, JSP 06]

- ▶ Test statistico per l'ipotesi $H_0 : h_c(\lambda) = h^{(2/3)}(\lambda)$
- ▶ Super-additività + Disuguaglianze di concentrazione:
stima rigorosa della probabilità di errore
- ▶ Uso del computer solo per simulare le variabili ω_n

Il *p*-value del test è $< 10^{-5}$!
Forti evidenze che $h_c(\lambda) > h^{(2/3)}(\lambda)$

Forse $h_c(\cdot) = h^{(1)}(\cdot)$? **NO(?)**: evidenze numeriche [CGG, JSP 06]

- ▶ Dimostrazione per λ grande [Toninelli 07]

Conclusioni

Energia libera e curva critica:

- ▶ Buona comprensione generale

Conclusioni

Energia libera e curva critica:

- ▶ Buona comprensione generale
- ▶ Punti da chiarire:
 - ▶ Individuare la curva critica (o almeno la tangente in zero)

Conclusioni

Energia libera e curva critica:

- ▶ Buona comprensione generale
- ▶ Punti da chiarire:
 - ▶ Individuare la curva critica (o almeno la tangente in zero)
 - ▶ Regolarità della transizione
(almeno secondo ordine, [Giacomin e Toninelli, CMP 06])

Conclusioni

Energia libera e curva critica:

- ▶ Buona comprensione generale
- ▶ Punti da chiarire:
 - ▶ Individuare la curva critica (o almeno la tangente in zero)
 - ▶ Regolarità della transizione
(almeno secondo ordine, [Giacomin e Toninelli, CMP 06])

Risultati traiettoriali:

- ▶ Risultati forti in \mathcal{L} (Sinai, Biskup, den Hollander, Giacomin, Toninelli)

Conclusioni

Energia libera e curva critica:

- ▶ Buona comprensione generale
- ▶ Punti da chiarire:
 - ▶ Individuare la curva critica (o almeno la tangente in zero)
 - ▶ Regolarità della transizione
(almeno secondo ordine, [Giacomin e Toninelli, CMP 06])

Risultati traiettoriali:

- ▶ Risultati forti in \mathcal{L} (Sinai, Biskup, den Hollander, Giacomin, Toninelli)
- ▶ Molte domande aperte in \mathcal{D} [Giacomin e Toninelli, PTRF 05]

Conclusioni

Energia libera e curva critica:

- ▶ Buona comprensione generale
- ▶ Punti da chiarire:
 - ▶ Individuare la curva critica (o almeno la tangente in zero)
 - ▶ Regolarità della transizione
(almeno secondo ordine, [Giacomin e Toninelli, CMP 06])

Risultati traiettoriali:

- ▶ Risultati forti in \mathcal{L} (Sinai, Biskup, den Hollander, Giacomin, Toninelli)
- ▶ Molte domande aperte in \mathcal{D} [Giacomin e Toninelli, PTRF 05]

G. Giacomin, Random Polymer Models, Imperial College Press 07